

РОССИЙСКАЯ АКАДЕМИЯ НАУК
СИБИРСКОЕ ОТДЕЛЕНИЕ
А В Т О М Е Т Р И Я

2005, том 41, № 4

УДК 621.39 : 519.2

В. Н. Васюков, Д. В. Голецихин
(Новосибирск)

ВОССТАНОВЛЕНИЕ РАЗМЫТЫХ
ПОЛУТОНОВЫХ ИЗОБРАЖЕНИЙ
НА ОСНОВЕ ИЕРАРХИЧЕСКОЙ ГИББСОВСКОЙ МОДЕЛИ*

Предлагается метод восстановления изображений, подвергшихся линейному размытию и наблюдаемых в аддитивном гауссовском шуме. Изображение рассматривается как реализация гиббсовского случайного поля, описываемого гаусс-марковской авторегрессионной моделью. Повышение качества восстановления достигается за счет введения в гиббсовскую модель скрытого уровня, содержащего границы между областями со сравнительно медленно меняющимися яркостями. Приводятся результаты применения предложенного подхода для восстановления реального изображения.

Введение. Восстановление изображений остается одной из актуальных задач их предварительной обработки [1, 2]. Согласно [1] для восстановления искаженных изображений применяются главным образом линейные стационарные фильтры; из нелинейных алгоритмов упомянуты только медианный фильтр и алгоритмы ранговой обработки. Известными недостатками медианного фильтра являются его эвристический характер и связанные с этим трудности выбора параметров. Ранговые алгоритмы также строятся на основе эвристического подхода и, кроме того, подвержены влиянию флуктуационных шумов [1]. Построение линейных восстанавливающих алгоритмов обычно производится для изображения бесконечных размеров. На практике восстанавливаемое изображение всегда ограничено, что приводит к возникновению краевых эффектов, компенсация которых различными эвристическими методами [3] снижает четкость восстановленного изображения.

Один из эффективных подходов к обработке изображений основан на предположении, что наблюдаемое изображение представляет собой реализацию случайного поля, имеющего распределение Гиббса [4, 5]. В рамках этого подхода удается строить итерационные алгоритмы, позволяющие решать разнообразные задачи обработки изображений на основе критерия Байеса. В частности, в работе [6] был предложен алгоритм восстановления полутонаовых изображений, подвергшихся нелинейным искажениям, в [7] гиббсовский подход был применен для восстановления изображений, подвергшихся линейным неоднородным (нестационарным) искажениям, а также для сегментации бинарных текстурных изображений.

* Работа выполнена при финансовой поддержке фонда «Научный потенциал».

Данная работа посвящена построению алгоритма восстановления изображений, описываемых авторегрессионной гаусс-марковской моделью, на основе иерархической гиббсовской модели, включающей, кроме идеального неискаженного изображения и наблюдаемого искаженного (размытого) изображения, поле линий, разделяющих области с приближенно-постоянной яркостью. Выделение этих линий (контуров) и их учет при компенсации размытия позволяют заметно повысить качество восстановления.

Иерархическая модель изображения. В работе [6] на основе предложенного гиббсовского описания полутонового (непрерывнозначного) изображения, формируемого авторегрессионным способом [8], разработан метод восстановления изображения, подвергшегося линейным и нелинейным искажениям. В работе [7] этот подход был успешно применен для восстановления полутоновых изображений в условиях неоднородных линейных искажений, наблюдавшихся в аддитивном гауссовском шуме. Результаты этих исследований продемонстрировали хорошее качество восстановления как моделюемых, так и реальных изображений при почти полном отсутствии краевых эффектов и других артефактов. Для дальнейшего повышения качества восстановления введем в гиббсовскую модель изображения ненаблюдавшийся «контурный» уровень, содержащий поле линий [4, 5], разделяющих области, в пределах которых уровни яркости полутонового изображения остаются приближенно-постоянными. В дальнейшем изложении будем использовать обозначения, аналогичные применяемым в работе [6], где приведено подробное описание гиббсовского поля, формируемого авторегрессионной моделью, и основное внимание будет сосредоточено на особенностях, связанных с вводимым контурным уровнем.

Введем в рассмотрение двухкомпонентное случайное поле (\mathbf{X}, \mathbf{G}) , состоящее из управляемого поля \mathbf{X} , описывающего изображение, и управляющего поля \mathbf{G} . Значение $x(m, n)$ реализации поля \mathbf{X} в узле (m, n) решетки $\mathbf{L} = \{(m, n): 0 \leq m \leq M, 0 \leq n \leq N\}$ определяется выражением, аналогичным авторегрессионному уравнению, использованному в [6]:

$$x(m, n) = a_{m, n}(p, q)x(m-p, n-q) + (m, n), \quad (m, n) \in \mathbf{L}. \quad (1)$$

Здесь (m, n) – двумерная последовательность независимых гауссовых случайных величин с нулевым средним и дисперсией $\sigma^2(m, n)$, зависящей от координат узла (m, n) ; $a_{m, n}(\mathbf{G})$ – опорная область переменного размера для коэффициентов авторегрессии $a_{m, n}(p, q)$. Особенность выражения (1) заключается в том, что конфигурация опорной области $a_{m, n}(\mathbf{G})$ зависит от значений управляющего поля \mathbf{G} , а ее размеры ограничены согласно выражению $a_{m, n}(\mathbf{G}) = \{(p, q): (p, q) \in a_{m, n}, (m-p, n-q) \in \mathbf{L}\}$ – опорная область переменного размера, учитывающая конечные размеры решетки \mathbf{L} ; $a_{m, n} = \{(p, q): (p, q) \in a_{m, n}, (m-p, n-q) \in \mathbf{L}\}$ – опорная область коэффициентов авторегрессии модели-прототипа первого порядка [6, 7].

Управляющее поле \mathbf{G} представляет собой процесс линий [5] – бинарное поле, заданное на дуальной решетке, узлы которой располагаются между соседними по вертикали и горизонтали элементами изображения (рис. 1). Элементы поля \mathbf{G} могут принимать значение 1 или 0 в зависимости от наличия или отсутствия контурного элемента в данном узле. Совокупность контурных элементов образует контурный рисунок изображения.

○	×	○	×	○	×	○
×	×					
○	×	○	×	○	×	○
×						
○	×	○	×	○	×	○
×						
○	×	○	×	○	×	○

Рис. 1. Расположение элементов полей (— элементы изображения, — элементы управляющего поля)

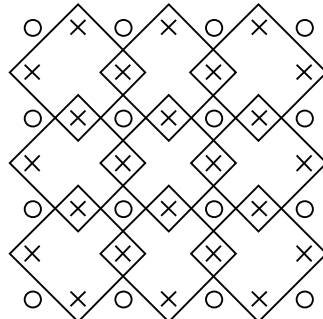


Рис. 2. Система клик управляющего поля

Обозначим дуальную решетку \mathbf{L}_g и разобьем ее на две подрешетки \mathbf{L}_1 и \mathbf{L}_2 так, что узлы \mathbf{L}_1 расположены между соседними по горизонтали точками изображения, а узлы \mathbf{L}_2 – между точками изображения, соседними по вертикали: $\mathbf{L}_g = \{\mathbf{L}_1 \cup \mathbf{L}_2\}$. Тогда $\mathbf{G} = \{\mathbf{G}_1 \cup \mathbf{G}_2\}$, $\mathbf{G}_1 = \{g_1(m, n) : (m, n) \in \mathbf{L}_1\}$, $\mathbf{G}_2 = \{g_2(m, n) : (m, n) \in \mathbf{L}_2\}$, где \mathbf{G}_1 и \mathbf{G}_2 – поля, определяемые на подрешетках \mathbf{L}_1 и \mathbf{L}_2 .

Согласно [5] на дуальной решетке \mathbf{L}_g определяется система четырехточечных клик (рис. 2). Каждая клика состоит из двух соседних по вертикали точек решетки \mathbf{L}_1 и двух соседних по горизонтали точек решетки \mathbf{L}_2 .

Каждой клике поставим в соответствие потенциальную функцию

$$V^g(g_1(m, n), g_2(m, n - 1), g_1(m - 1, n), g_2(m, n)), \quad m \in \overline{0, M - 2}, \quad n \in \overline{0, N - 2}.$$

Вероятность реализации \mathbf{g} поля \mathbf{G} имеет гиббсовскую форму

$$P(\mathbf{G} = \mathbf{g}) = Z_{\mathbf{G}}^{-1}$$

$$\exp \sum_{m=0}^{M-2} \sum_{n=0}^{N-2} V^g(g_1(m, n), g_2(m, n - 1), g_1(m - 1, n), g_2(m, n)), \quad (2)$$

где $Z_{\mathbf{G}}^{-1}$ – нормирующий множитель; $g_1(,)$ и $g_2(,)$ – значения реализаций полей \mathbf{G}_1 и \mathbf{G}_2 в соответствующих узлах. Поле \mathbf{G} бинарно, поэтому функция V^g может принимать 16 возможных значений. Эти значения являются параметрами модели (2). С учетом условия нормировки независимыми являются только 15 параметров.

На рис. 3 приведены все возможные конфигурации контурных элементов на клике и соответствующие им значения поля \mathbf{G} (прямоугольник обозначает элемент контура с учетом ориентации). Поскольку изображения естественных сцен часто имеют изотропный характер, то в целях упрощения модели (2) будем считать, что значение потенциала V^g зависит только от конфигурации контура и не зависит от его ориентации, т. е. положим

$$V^g(1, 0, 0, 0) = V^g(0, 1, 0, 0) = V^g(0, 0, 1, 0) = V^g(0, 0, 0, 1),$$

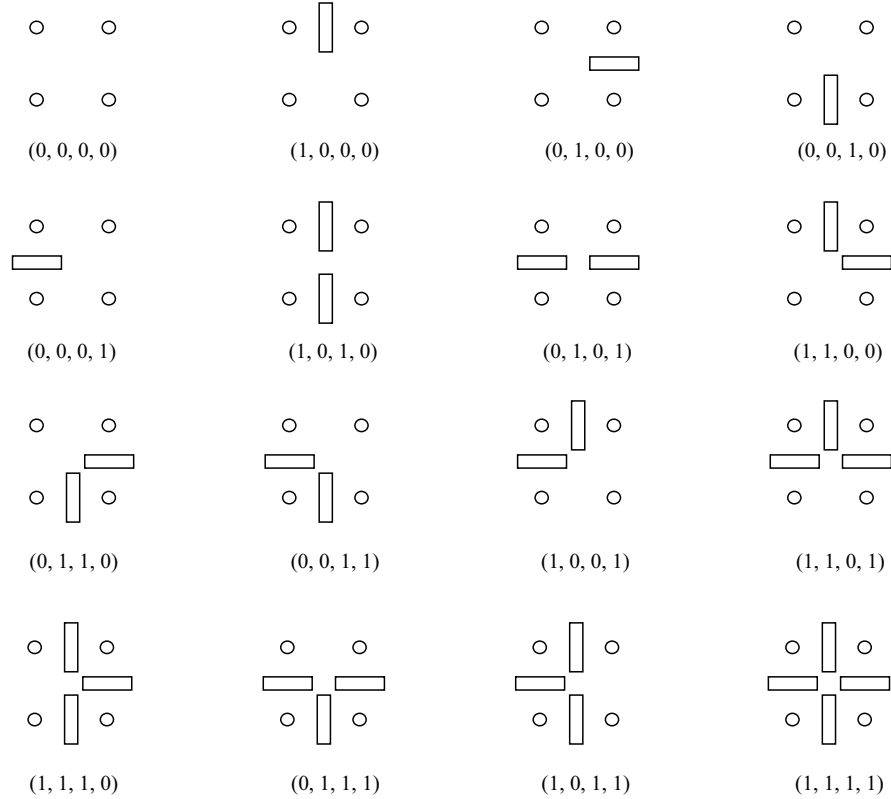


Рис. 3. Соответствие конфигураций контурных элементов и значений поля \mathbf{G}

$$\begin{aligned}
 & V^g(1,0,1,0) \quad V^g(0,1,0,1), \\
 & V^g(1,1,0,0) \quad V^g(0,1,1,0) \quad V^g(0,0,1,1) \quad V^g(1,0,0,1), \\
 & V^g(1,1,0,1) \quad V^g(1,1,1,0) \quad V^g(0,1,1,1) \quad V^g(1,0,1,1).
 \end{aligned}$$

Это допущение сокращает число параметров модели до шести, причем только пять из них являются независимыми.

Для описания связи между предложенной моделью поля нижнего уровня (1) и моделью управляющего поля (2) определим множества

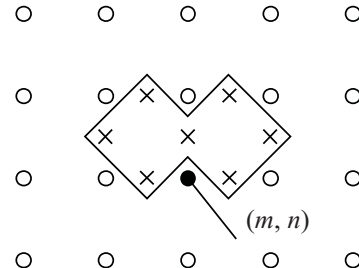
$${}_1 \quad \{(p, q): 0 \leq p \leq 1, 0 \leq q \leq 1\}, \quad {}_2 \quad \{(p, q): p = 1, 0 \leq q \leq 1\},$$

а также систему подмножеств элементов управляющего поля \mathbf{G} :

$$\begin{aligned}
 \mathbf{G}_{m,n} &= \{g_1(m-p, n-q): (p, q) \in {}_1, (m-p, n-q) \in \mathbf{L}_1\} \\
 & \{g_2(m-p, n-q): (p, q) \in {}_2, (m-p, n-q) \in \mathbf{L}_2\}, \quad (m, n) \in \mathbf{L}.
 \end{aligned}$$

Положим, что конфигурация носителя ${}_{m,n}(\mathbf{G})$, $(m, n) \in \mathbf{L}$, зависит только от элементов подмножества $\mathbf{G}_{m,n}$: ${}_{m,n}(\mathbf{G}) \subseteq {}_{m,n}(\mathbf{G}_{m,n})$. На рис. 4 пока-

Рис. 4. Множество контурных элементов, влияющих на выбор формы опорной области m, n



зано расположение элементов управляющего поля, принадлежащих множеству $\mathbf{G}_{m, n}$ для внутренних точек решетки L , т. е. при $1 \leq m \leq M - 1, 1 \leq n \leq N - 1$. На рис. 5 представлены все возможные конфигурации опорной области $m, n(\mathbf{G}_{m, n})$.

Выбор конкретной конфигурации производится для каждой точки $(m, n) \in L$ в зависимости от наличия в ней контурных элементов. Определим следующее правило: элемент (p, q) исключается из области $m, n(\mathbf{G}_{m, n})$, если прямая, проведенная через узлы (m, n) и $(m + p, n + q)$ решетки L , проходит через контурный элемент или пересекает линию, образованную соединением соседних контурных элементов. Введенное правило выбора конфигурации области $m, n(\mathbf{G}_{m, n})$ определяет способ связи управляющего поля G и управляемой модели (1).

Оценивание наборов коэффициентов авторегрессии $a(m, n, p, q)$, $(p, q) \in m, n(\mathbf{G}_{m, n})$, и соответствующих дисперсий $a^2(m, n)$ для всех возможных конфигураций опорной области $m, n(\mathbf{G}_{m, n})$, за исключением случая

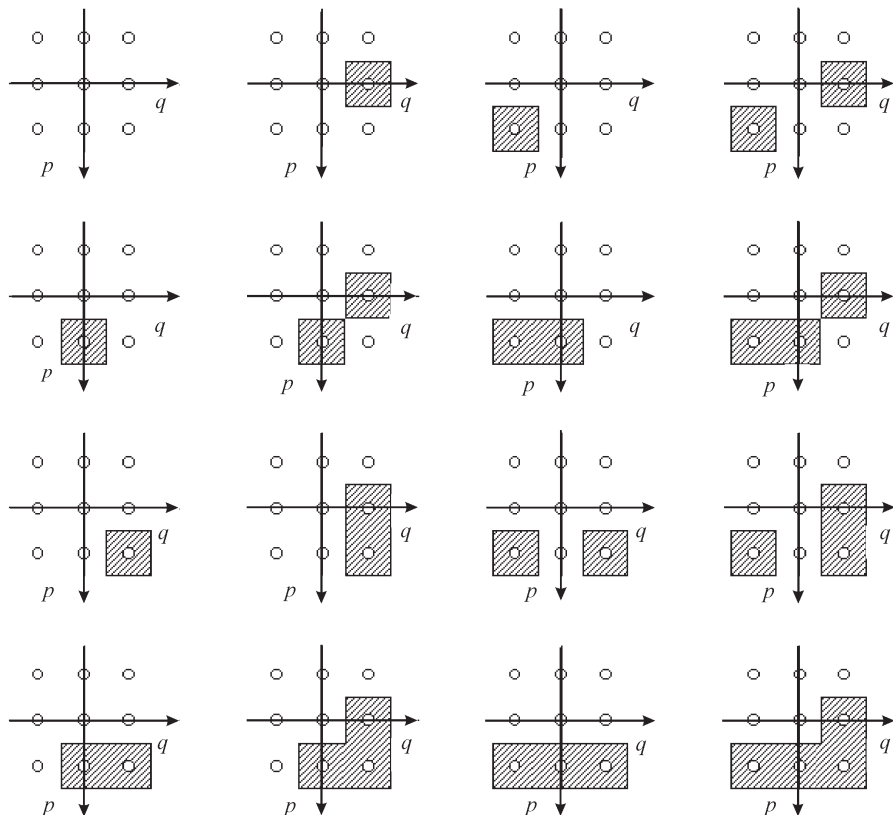


Рис. 5. Формы опорной области m, n в зависимости от значений управляющего поля

$\mathbf{G}_{m,n}$, производится путем минимизации среднеквадратичной ошибки линейного предсказания аналогично [6].

Условная плотность распределения вероятности поля \mathbf{X} , формируемого в соответствии с (1), имеет гиббсовскую форму и определяется выражением

$$w(\mathbf{X} \mid \mathbf{x} \mid \mathbf{G} \mid \mathbf{g}) = Z_{\mathbf{X} \mid \mathbf{G}}^1(\mathbf{g}) \exp \frac{V_{m,n}^g(x(m-p, n-q), (p, q) - \mathbf{g}_{m,n})}{L},$$

$$\mathbf{g}_{m,n} = \mathbf{g}_{m,n}(0,0); \quad Z_{\mathbf{X} \mid \mathbf{G}}(\mathbf{g}) = (2\pi)^{|L|/2} \sum_{(m,n)} \frac{1}{L},$$

$$V_{m,n}^g(x(m-p, n-q), (p, q) - \mathbf{g}_{m,n}))$$

$$\frac{1}{2^{(m,n)}} \sum_{(p,q)} a(m, n, p, q) x(m-p, n-q), \quad a(m, n, 0, 0) = 1.$$

Наблюдаемое искаженное изображение \mathbf{Y} формируется в соответствии с выражением

$$y(m, n) = h(p, q) x(m-p, n-q) + (m, n),$$

$$(m, n) \in \mathbf{L}_h, \quad \mathbf{L}_h = \{(m, n): P_h \leq m \leq (M-P_h), Q_h \leq n \leq (N-Q_h)\}, \quad (3)$$

где $h(p, q)$ – дискретная двумерная функция рассеяния точки, заданная на прямоугольном носителе \mathbf{L}_h $\{(p, q): P_h \leq p \leq P_h, Q_h \leq q \leq Q_h\}$ размером $(2P_h+1) \times (2Q_h+1)$ и описывающая размытие изображения в процессе регистрации; (m, n) – независимый дискретный гауссовский шум наблюдения с нулевым средним и постоянной дисперсией σ^2 . Операция свертки в (3) приводит к тому, что носитель \mathbf{L}_h искаженного изображения оказывается меньше носителя \mathbf{L} исходного изображения.

Восстановление изображения на основе иерархической модели. Задача восстановления формулируется следующим образом: по наблюдаемой реализации поля \mathbf{Y} $\{y(m, n): (m, n) \in \mathbf{L}_h\}$ необходимо найти оптимальную совместную оценку исходного изображения \mathbf{X} $\{x(m, n): (m, n) \in \mathbf{L}\}$ и управляющего поля \mathbf{G} . В качестве критерия оптимальности принимается критерий максимума апостериорной вероятности $(\hat{\mathbf{X}}, \hat{\mathbf{G}}) = \arg \max_{(\mathbf{X}, \mathbf{G})} w(\mathbf{X}, \mathbf{G} \mid \mathbf{Y})$. Согласно формуле Байеса

$$w(\mathbf{X}, \mathbf{G} \mid \mathbf{Y}) = \frac{w(\mathbf{X}, \mathbf{G}) w(\mathbf{Y} \mid \mathbf{X}, \mathbf{G})}{w(\mathbf{Y})} = \frac{P(\mathbf{G}) w(\mathbf{X} \mid \mathbf{G}) w(\mathbf{Y} \mid \mathbf{X})}{w(\mathbf{Y})}.$$

Для одновременного оценивания непрерывнозначного поля \mathbf{X} и бинарного поля \mathbf{G} используется предложенная в работе [9] методика, основанная на поочередном генерировании выборок из распределений $P(\mathbf{G} \mid \mathbf{X}, \mathbf{Y})$ и

$w(\mathbf{X} | \mathbf{G}, \mathbf{Y})$ на каждой итерации. При этом вместо неизвестных \mathbf{X} и \mathbf{G} в выражения для апостериорных распределений $P(\mathbf{G} | \mathbf{X}, \mathbf{Y})$ и $w(\mathbf{X} | \mathbf{G}, \mathbf{Y})$ на каждом шаге подставляются их текущие оценки.

Записав выражения для условного распределения $P(\mathbf{G} | \mathbf{X}, \mathbf{Y})$ и условной плотности вероятности $w(\mathbf{X} | \mathbf{G}, \mathbf{Y})$, подставив в них $P(\mathbf{G})$ и $w(\mathbf{X} | \mathbf{G})$ и введя «температуру» $T(t)$, получим

$$\begin{aligned} P_t(\mathbf{G} - \mathbf{g} | \mathbf{x}_{t-1}, T(t)) &= [Z_{\mathbf{G} | \mathbf{X}}(T(t))]^{-1} \\ &\exp \frac{1}{T(t)} \sum_{(m,n) \in \mathbf{L}} \ln V^g(g_1(m,n), g_2(m,n-1), g_1(m-1,n), g_2(m,n)) \\ &\quad \sum_{m=0}^{M-2} \sum_{n=0}^{N-2} V^g(g_1(m,n), g_2(m,n-1), g_1(m-1,n), g_2(m,n)) \\ &\quad \sum_{(m,n) \in \mathbf{L}} V^g(x(m-p,n-q), (p,q) \rightarrow_{m,n} (\mathbf{g}_{m,n})) \quad , \\ w_t^Y(\mathbf{X} - \mathbf{x} | \mathbf{g}_{t-1}, T(t)) &= w(\mathbf{X} - \mathbf{x} | \mathbf{g}_{t-1}, \mathbf{Y} - \mathbf{y}, T(t)) = [Z_{\mathbf{X} | \mathbf{G}}(T(t))]^{-1} \\ &\exp \frac{1}{T(t)} \sum_{(m,n) \in \mathbf{L}} V^g(x(m-p,n-q), (p,q) \rightarrow_{m,n} (\mathbf{g}_{m,n})) \\ &\quad \frac{1}{2} \sum_{(m,n) \in \mathbf{L}_h} y(m,n) \sum_{(p,q) \in h} h(p,q) x(m-p,n-q) \quad , \end{aligned}$$

где $Z_{\mathbf{G} | \mathbf{X}}(T(t))$ и $Z_{\mathbf{X} | \mathbf{G}}(T(t))$ – нормирующие константы; \mathbf{x}_{t-1} и \mathbf{g}_{t-1} – реализации полей \mathbf{X} и \mathbf{G} , полученные на предыдущей итерации.

Пусть $(i,j) \in \mathbf{L}_1$ – текущая точка решетки \mathbf{L}_1 , $g_1(i,j)$ – значение реализации последовательности \mathbf{G}_1 в точке (i,j) . Для возможной модификации поля в точке (i,j) новое значение $g_1(i,j)$ генерируется с помощью датчика случайных чисел 1 и 0 с равновероятными исходами, соответствующими наличию или отсутствию контурного элемента в данной точке. Новое значение принимается согласно методу Метрополиса – Хастингса [4] с вероятностью

$$P = \min(1, \frac{P_t(\mathbf{G} - \mathbf{g} | \mathbf{x}_{t-1}, T(t))}{P_t(\mathbf{G} - \mathbf{g} | \mathbf{x}_{t-1}, T(t))}) \quad ,$$

иначе значение поля в точке не меняется, и происходит переход к следующей точке решетки \mathbf{L}_1 в соответствии с выбранным правилом обхода (сканирования) решетки (\mathbf{g} обозначает реализацию поля \mathbf{G} после модификации). Выражение отношения условных вероятностей не приводится ввиду его громоздкости. Аналогично принимается решение о модификации поля \mathbf{G} при обходе решетки \mathbf{L}_2 .

Модификация значения поля X в точке (i, j) \mathbf{L} происходит с вероятностью

$$P = \min \left(1, \frac{w_t^Y(\mathbf{X} - \mathbf{x} | \mathbf{g}_{t-1}, T(t)) q(x(i, j) | x(i, j))}{w_t^Y(\mathbf{X} - \mathbf{x} | \mathbf{g}_{t-1}, T(t)) q(x(i, j) | x(i, j))} \right), \quad (4)$$

где $x(i, j)$ – текущее значение поля X в точке (i, j) . Новое значение $x(i, j)$ в точке (i, j) генерируется в соответствии с заданным условным распределением $q(x(i, j) | x(i, j))$, в качестве которого выбрано распределение Лапласа

$$q(x(i, j) | x(i, j)) = \frac{1}{2} \exp(-\frac{|x(i, j) - x(i, j)|}{2}),$$

где σ – параметр, определяющий дисперсию данного распределения. Отношение условных плотностей вероятностей в (4) выражается через потенциалы клик, содержащих точку (i, j) .

На рис. 6 приведены результаты работы предложенного алгоритма. Обработка подвергалось размытое изображение (рис. 6, *a*). Параметры модели исходного изображения, модели искажающей системы и схема охлаждения

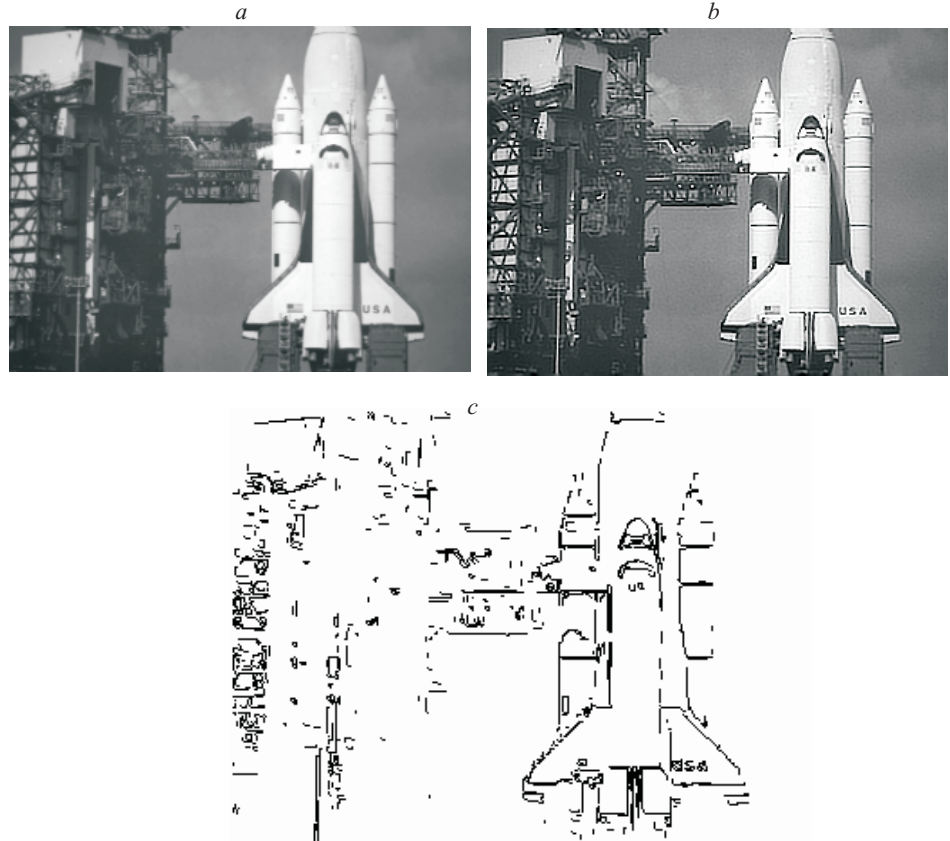


Рис. 6. Результаты работы алгоритма восстановления: искаженное изображение (*a*), восстановленное изображение (*b*), схема охлаждения (*c*).

подбирались экспериментально. Восстановленное изображение (рис. 6, *b*) имеет более высокое качество субъективного восприятия по сравнению с алгоритмом [7], построенным без учета поля линий. При этом почти полностью отсутствуют краевые эффекты. Предложенный алгоритм может использоваться для высококачественного восстановления изображений в условиях линейных однородных и неоднородных искажений. Аналогичный подход можно использовать для построения алгоритма компенсации нелинейных искажений. Заметим, что при восстановлении изображения попутно выделяется контурный препарат (рис. 6, *c*), который может быть использован в алгоритмах анализа сцен.

Заключение. Предложен метод восстановления изображений, подвергшихся линейным искажениям (размытию и т. п.) и воздействию аддитивного гауссовского шума, на основе иерархической гиббсовской модели случайного поля, представленного гаусс-марковской авторегрессионной моделью. Повышение качества восстановления достигается за счет введения в модель скрытого уровня, описывающего границы между областями с медленно меняющимися яркостями.

СПИСОК ЛИТЕРАТУРЫ

1. Методы компьютерной обработки изображений /Под ред. В. А. Сойфера. М.: Физматлит, 2001.
2. Реконструкция изображений /Под ред. Г. Старка. М.: Мир, 1992.
3. Грузман И. С., Киричук В. С., Косых В. П. и др. Цифровая обработка изображений в информационных системах. Новосибирск: Изд-во НГТУ, 2002.
4. Винклер Г. Анализ изображений, случайные поля и динамические методы Монте-Карло. Математические основы. Новосибирск: Изд-во СО РАН, филиал «Гео», 2002.
5. Geman S., Geman D. Stochastic relaxation, Gibbs distributions, and the Bayesian restoration of images // IEEE Trans. 1984. PAMI-6, N 6. P. 721.
6. Васюков В. Н., Голещихин Д. В. Восстановление полутоновых изображений на основе гиббсовского описания // Автометрия. 2002. № 2. С. 58.
7. Васюков В. Н., Голещихин Д. В. Восстановление и сегментация изображений, описываемых гиббсовскими моделями // Науч. вестн. НГТУ. 2001. № 2 (11). С. 9.
8. Васюков В. Н., Голещихин Д. В. Гиббсовская модель фрагмента стационарного случайного поля, определяемого авторегрессионным уравнением // Сиб. журнал индустр. математики. 2002. V, № 1 (9). С. 20.
9. Jeng F. C., Woods J. W. Simulated annealing in compound Gauss – Markov random fields // IEEE Trans. 1990. IT-36. P. 94.

Новосибирский государственный
технический университет,
E-mail: vasyukov@ktor.ref.nstu.ru

Поступила в редакцию
8 сентября 2004 г.